

広島工業大学工学部 正員 ○ 中山 隆弘
大阪大学工学部 正員 小松 定夫

1. まえがき 地震動や変動風などのような変動荷重を受けることが事前に予測される構造物の設計を、いわゆる動的応答倍率を用いることによって静的構造解析のみに委ねることも多い。これは言うまでもなく設計過程をできるだけ簡便にするためであり、道路橋や鉄道橋の設計における「衝撃係数」、あるいは耐震設計における「設計震度」等の導入はその典型である。この種の動的係数は実験やシミュレーションの手法によって算定されるのが一般的であるが、重ね係数と構造物の信頼性レベルとの定量的な関係が論じられてことは従来ほとんどなかつたようである。換言すれば、構造物の強度の変動効果や安全係数等に留意して、目標とする構造信頼性のレベルに応じて動的係数を決定する方法論が欠如していたとも言えるであろう。本報告はそれに対する1つのアプローチを示したものである。

2. 動的応答倍率の算定法 本研究では構造物の設計規範が式(1)で表わされるものとしている。式中 Q_p, Q_i はそれぞれ静的荷重とみなせる永久荷重(例えば死荷重)および変動荷重による荷重効果の特性値、 R は荷重効果と同じ次元で与えられる構造物の抵抗力の特性値、 γ_p, γ_i, ψ はそれぞれそれらに関する荷重係数あるいは抵抗係数、 α は荷重の組合せに関する係数である。荷重の組合せとしてはいろいろ考えられるが、例えば死荷重と交通荷重、あるいは死荷重と風荷重などのように、1つの永久荷重と1つの変動荷重の組合せを考えると、 α を1として式(2)が成立する。また変動荷重による荷重効果 Q_i が静的成分 Q_i^s と動的成分 Q_i^d に分解できるものとし、さらに Q_i^d を、例えば平方根平均値(r.m.s. 値) \bar{Q}_i のような代表値と適当な定数 α を用いて $Q_i^d = \alpha \bar{Q}_i$ と定義することにすれば、式(2)は式(3)のように書き改められる。式中 γ_i^s と γ_i^d はそれぞれ変動荷重による静的荷重効果と動的荷重効果に含まれる種々の不確定性を補う荷重係数である。式(3)を整理して式(4)が得られる。式(4)の左辺に含まれる $\gamma_i^d \bar{Q}_i / \gamma_i^s Q_i^s$ の項は、例えて言うならば前述の「衝撃係数」に相当するものである。

いま式(5)で定義される A を $(\gamma_i^d \bar{Q}_i / \gamma_i^s Q_i^s)$ を含んでいいるが故に)広義の動的応答倍率と呼ぶことにし、この A を用いて式(4)を表わせば式(6)のようになる。また一般にある確率量 U の特性値 U_k は超過確率より決まる定数 α_k によって平均値 \bar{U} と、 $U_k = \alpha_k \bar{U}$ のように関係づけられるから、式(6)は式(7)のように書き直すことができる。

さて適当に定めた $\gamma_p, \gamma_i^s, \psi, \gamma_p, \alpha_i^s, \alpha_i^d$ と、以下に述べる方法で算定した A を用いて、式(7)の等号条件、すなわち式(8)が成立するような抵抗力を与えれば、不可抗力としか言いようのない不運の事故や人為的ミスなどがない限り、その構造物は所定の構造信頼度を保持できるものと考えられる。

$$\gamma_c (\gamma_p Q_p + \sum_{i=1}^m \gamma_i Q_i) \leq \psi R \quad (1)$$

$$\gamma_p Q_p + \gamma_i Q_i \leq \psi R \quad (2)$$

$$\gamma_p Q_p + \gamma_i^s Q_i^s + \gamma_i^d \alpha \bar{Q}_i \leq \psi R \quad (3)$$

$$\gamma_p Q_p + \gamma_i^s \left(1 + \frac{\gamma_i^d}{\gamma_i^s} \frac{\bar{Q}_i}{Q_i^s} \alpha\right) Q_i^s \leq \psi R \quad (4)$$

$$A = 1 + \frac{\gamma_i^d}{\gamma_i^s} \frac{\bar{Q}_i}{Q_i^s} \alpha \quad (5)$$

$$\gamma_p Q_p + \gamma_i^s A Q_i^s \leq \psi R \quad (6)$$

$$\gamma_p Q_p + \gamma_i^s A \bar{Q}_i^s + \gamma_i^d \alpha \bar{Q}_i^s \leq \psi \alpha_r R \quad (7)$$

$$\gamma_p Q_p + \gamma_i^s A \bar{Q}_i^s + \gamma_i^d \alpha \bar{Q}_i^s = \psi \alpha_r R \quad (8)$$

$$A = \frac{1}{\gamma_i^s \alpha_i^s} (\psi \alpha_r - \gamma_p Q_p \frac{\bar{Q}_i}{Q_i^s} \frac{\bar{Q}_i}{R}) \frac{\bar{R}}{Q_i^s} \quad (9)$$

$$\bar{m} = \frac{\bar{R}}{\bar{Q}_i} \quad (10) \quad n = \frac{\bar{Q}_p + \bar{Q}_i^s}{\bar{R}} \quad (11)$$

$$\frac{1}{\bar{m} n} = \frac{\bar{Q}_i}{\bar{Q}_p + \bar{Q}_i^s} \quad (12)$$

$$A = \frac{1}{\gamma_i^s \alpha_i^s} \left(\psi \alpha_r - \gamma_p Q_p \frac{\bar{Q}_i}{Q_i^s} \frac{1}{\bar{m}} \right) \left(1 + \frac{\bar{Q}_i}{Q_i^s} \right) \frac{1}{n} \quad (13)$$

$$g_s = \frac{\bar{Q}_i^s}{\bar{Q}_p} \quad (14) \quad g_d = \frac{\bar{Q}_i}{\bar{Q}_p} \quad (15)$$

$$\frac{1}{\bar{m} n} = \frac{g_d}{1 + g_s} \quad (16)$$

$$A = \frac{1}{\gamma_i^s \alpha_i^s} \left(\psi \alpha_r - \frac{\gamma_p Q_p}{g_d \bar{m}} \right) \left(1 + \frac{g_d}{g_s} \right) \frac{1}{n} \quad (17)$$

$$P_r = f(\bar{m}, n, \alpha_s, \alpha_d^*) \quad (18)$$

$$P_{r,t} = f(\bar{m}, n, \alpha_s, \alpha_d^*) \quad (19)$$

まず動的応答倍率 A に着目して式(8)を式(9)のように変形する。式中の \bar{Q}_d は、荷重効果の代表値ではなく平均値 \bar{Q} で与えられた変動荷重による動的荷重効果の代表値(例えば R.M.S. 値)である。次に式(10)と式(11)でそれぞれ定義される無次元パラメーター ψ やび α を導入する。 ψ は抵抗力の平均値と動的荷重効果の代表値との比、 α は静的荷重効果($\bar{Q}_p + \bar{Q}_d$)と抵抗力の平均値との比で、いずれも構造物の信頼度を支配する主要なパラメーターである。式(10)と式(11)の定義式より、式(12)が成立することは明らかであり、また ψ や α を用いれば式(9)は式(13)のようになる。さらに無次元パラメーター q_s や q_d をそれぞれ式(14)および式(15)で定義し、それらを式(12)および式(13)に代入すれば、それらはそれぞれ式(16)および式(17)となる。

永久荷重の統計的ばらつきは無視できるほど小さいものとし、さらに抵抗力の変動係数を ψ 、変動荷重の作用時間 t を動的荷重効果の代表的振動数を用いて無次元化したパラメーターを ψ とすれば、文献1)に示したとおり、この種の組合せ荷重を受ける構造物の信頼度 P_f は、 \bar{Q} 、 ψ 、 α 、 ds 、 τ_d の関数として与えられる(式(18))。したがって q_s 、 q_d 、 ψ や α が既知であるとすれば、 P_f を既定の信頼度 $P_{f,t}$ にし、かつ式(16)をも満たす一組の \bar{Q} 、 ψ が、式(16)と式(19)とを連立させることによって得られる。そしてこの \bar{Q} 、 ψ と q_s 、 q_d を式(17)に代入すれば構造物に目標とする信頼度($P_{f,t}$)を与えるために必要な動的応答倍率 A を、ある一組の q_p 、 q_d^s 、 q_d^d 、 α_p 、 α_d^s 、 α_d^d に対して決定することができるうことになる。

3. 数値計算例 式(17)に含まれる荷重係数等の値については従来の研究結果²⁾を参考に設定し、さらに動的荷重効果は定常正規確率過程の性質を示し、抵抗力は正規分布に従うとして数値計算を行った。

まず変動荷重による静的荷重効果 \bar{Q}_d と永久荷重による荷重効果 \bar{Q}_p との比を表わすパラメーターである q_d を 0.60、変動荷重による動的荷重効果の R.M.S. 値 \bar{Q}_d と \bar{Q}_p との比である q_s を 0.1 とし、荷重係数 α_p 、 α_d^s をそれぞれ 1.20、1.60、目標破壊確率 P_f (1 - $P_{f,t}$) を 1.0×10^{-6} 、 1.0×10^{-5} 、 1.0×10^{-4} としたときの結果を、縦軸に動的増幅率 A 、横軸に抵抗係数 ψ をとって示したもののが図-1である。ただし α_p 、 α_d^s 、 α_d^d はそれぞれ 1.0、1.3、0.834、 ds 、 τ_d はそれぞれ 0.1、1000 としている。例えば $P_f = 1.0 \times 10^{-5}$ 、 $\psi = 0.85$ とすれば、 A は約 1.32 となる。同様に図-2、図-3 はそれぞれ永久荷重に関する荷重係数 α_p と A との関係を示すものである。さらに q_s あるいは q_d と A との関係を図-4 に示しておく。自明のことではあるが、 A は q_s の増加と共に漸増している。

4. あとがき 構造物の信

頼性レベルとの対応を、荷重係数などの安全係数も考慮して統一的に説明できる動的応答倍率の算定法を示した。今後はこの方法を活用し、具体的な構造物の動的信頼性問題について考察していく。

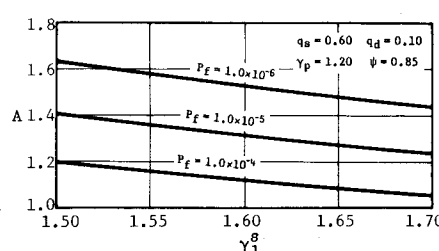


図-1 動的応答倍率

(変動荷重に関する荷重係数との関係)

図-2 動的応答倍率
(永久荷重に関する荷重係数との関係)

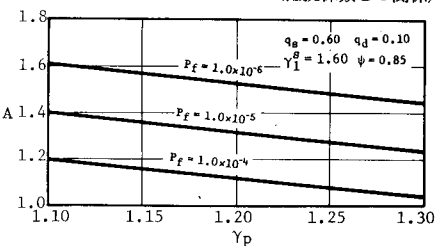


図-3 動的応答倍率
(変動荷重に関する荷重係数との関係)

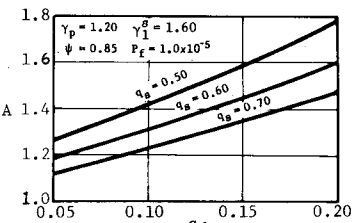


図-4 動的応答倍率

((動的荷重効果)/(永久荷重効果)との関係)

(参考文献) 1) 小松・中山: 静的荷重と…, 土木学会論文報告集, 第 332 号, pp.25~33, 1983 年 4 月 2) 例えば Ellingwood・Galambos・MacGregor・Cornell: Development of…, U.S. Dept. of Commerce, SP-577, pp.44~95, June, 1980, 木下・伊藤・藤野: 信頼性アプローチによる…, 土木学会第33回年講概要集, I-150, pp.286~287, 1978 年 9 月, 長・小山: 鉄筋コンクリート構造物設計法の…, 土木学会論文報告集, 第 287 号, pp.115~125, 1979 年 7 月 杉山・藤野・伊藤: データ数を考慮した…, 土木学会第33回年講概要集, I-206, pp.411~412, 1983 年 9 月